

۱- مقدمه

جمعی و یا اجتماع ذرات (PSO) است. الگوریتم PSO دقت و سرعت محاسبه‌ی قابل ملاحظه‌ای در حل مسائل بهینه سازی دارد. فواید الگوریتم بهینه سازی PSO در مراجع [۱۸، ۱۹] ارائه شده‌اند. در این مقاله، یک بهینه‌سازی چند هدفه برای جایابی و اندازه‌یابی مولدهای تجدیدپذیر با استفاده از الگوریتم توسعه‌یافته‌ی PSO به کاررفته است. به منظور جلوگیری از همگرایی به بهینه محلی، از یک مکانیزم تطبیقی فازی برای افزایش دقت الگوریتم و اصلاح پارامترهای آن در موقع نیاز استفاده شده است.

این مقاله در ۵ بخش تنظیم شده است که در قسمت اول فرمول‌بندی توابع هدف با در نظر گرفتن قیود فنی و زیست-محیطی موجود توضیح داده می‌شود. در قسمت دوم الگوریتم PSO و بهینه‌سازی چند هدفه شرح داده می‌شود. سپس در قسمت سوم یک شبکه‌ی نمونه ارائه می‌گردد. در قسمت چهارم توابع هدف به دو صورت بهینه‌سازی تک هدفه و چند هدفه مورد ارزیابی قرار می‌گیرند و نتایج جایابی و اندازه‌یابی ترکیب‌های مختلف مولدهای تجدیدپذیر نمایش داده می‌شود.

۲- فرمول بندی مسئله

تعیین مکان و اندازه‌ی بهینه مولدهای تولید پراکنده به منظور اهداف مختلفی انجام می‌گیرد. از جمله این اهداف اقتصادی، آلایندگی و تلفات سیستم توزیع می‌باشد که در این بخش مدل‌سازی می‌شوند.

۲-۱- کمینه کردن هزینه

هزینه‌ی هر مولد به دو قسمت متغیر و ثابت تقسیم می‌شود. هزینه‌ی ثابت شامل هزینه‌ی سرمایه‌گذاری اولیه و هزینه‌ی متغیر تابعی از هزینه‌ی سوخت، و هزینه‌ی نگهداری می‌باشد [۲۰].

$$C(P) = a + b \times P \quad (1)$$

که در آن a و b عبارتند از:

$$a = \frac{CapitalCost(\$/kW) \times Capacity(kW)}{T_a \times LF} \times Gr_{cap} \quad (2)$$

$$b = Gr_{fuel} FuelCost(\$/kWh) \quad (3)$$

$$+ Gr_{O\&M} O\&M \cos t(\$/kWh)$$

$$Gr_{cap} = \frac{r_c(1+r_c^n)}{(1+r_c)^n - 1} \quad (4)$$

در سال‌های اخیر با افزایش جمعیت، میزان مصرف انرژی و در نتیجه تولید گازهای گلخانه‌ای به صورت چشمگیری افزایش یافته است. به همین منظور، محققان به دنبال راهکارهای مناسب برای کاهش انتشار گازهای گلخانه‌ای و پاسخ به نیاز مصرف‌کنندگان می‌باشند. افزایش بازده تولید و کاهش تلفات، استفاده از تولیدات پراکنده خصوصاً منابع تجدیدپذیر مانند انرژی بادی و خورشیدی از جمله راهکارهای کاهش آلایندگی می‌باشند. با این حال، استفاده از مولدهای تجدیدپذیر در شبکه با وجود مزایایی مانند مشارکت در بازار رزرو، بهبود سطح ولتاژ و کاهش تلفات توان، مشکلاتی مانند اعوجاج هارمونیک و نگرانی‌هایی مربوط به پایداری را به همراه خواهد داشت [۱، ۲]. شناخت عمومی مانند محل قرارگیری، نوع تکنولوژی و میزان ظرفیت، برای استفاده مناسب و کارآمد این منابع اهمیت ویژه‌ای دارد. از طرفی جایابی و اندازه‌یابی بهینه‌ی مولدهای تجدیدپذیر به منظور کمینه‌یابی بیشینه کردن توابع هدف مختلف تحت قیود مشخص انجام می‌گیرد [۳-۷]. عموماً این توابع هدف تناسب‌نایپذیر و اغلب در تضاد با یکدیگر هستند. به همین دلیل، بهینه‌سازی چندهدفه با توابع هدف متناقض منجر به ایجاد یک مجموعه جواب به جای یک جواب بهینه می‌شود. جایابی و اندازه‌یابی بهینه در مقالات مختلف با اهداف متفاوتی انجام شده است به طوری که در مراجع [۸، ۹] با هدف کمینه کردن تابع تلفات اکتیو فیدرها، در [۱۰، ۱۱] با هدف کاهش هزینه‌های کلی تولید شبکه و در [۱۲، ۱۳] به منظور بهبود پروفیل ولتاژ انجام شده است. در [۱۴] روشی برای تولید ترکیبی مولدها در چندین طرح سیستم توزیع با در نظر گرفتن افزایش سالانه‌ی بارهای شبکه بیان شده است. برای جامعیت مدل‌سازی یک الگوریتم بهینه‌سازی چند هدفه با ترکیبی از مولدهای تجدیدپذیر در نظر گرفته شده است. توابع هدف مورد مطالعه در این مقاله شامل کمینه کردن هزینه‌های کلی سرمایه‌گذاری و تولید شبکه، میزان انتشار آلاینده‌ها و تلفات توان حقیقی سیستم توزیع می‌باشد.

روش‌های گوناگون برای حل مسئله‌ی بهینه سازی بکار گرفته شده‌اند، به طوری که در مراجع [۱۶، ۱۵] الگوریتم زنگیک و در مرجع [۱۷] الگوریتم دینامیکی جستجوی مورچگان استفاده شده است. یکی از الگوریتم‌های تکاملی که اخیراً به کار رفته و پتانسیل بالا و چشم‌انداز مناسبی را برای حل مسائل بهینه‌سازی گوناگون از خود نشان داده است، الگوریتم بهینه‌سازی هوش

که E_{grid} ، α_i ، β_i ، γ_i و λ_i ضرایب آلایندگی نامین مولد هستند، میزان آلایندگی ناشی از تولید شبکه میباشد. (x_f) سومینتابع هدفی است که باید مینیمم شود.

۴-۲- قیود

توابع هدف معمولاً توسط قیود گوناگون محدود میشوند که این قیود میتوانند بهصورت زیر بیان شوند:

۴-۲-۱- قیود ولتاژ

ولتاژ باس های شبکه باید همواره در محدوده مجاز قرار بگیرند:

$$V_{min} \leq |V_k| \leq V_{max} \quad (10)$$

که در آن V_{max} و V_{min} ، به ترتیب حدود بالا و پایین ولتاژ باس ها میباشند. همچنین $|V_k|$ دامنه ولتاژ در باس k است.

۴-۲-۲- تعداد مولدهای تجدید پذیر انرژی

درواقع، اگر همه بارها توسط ژنراتورهای محلی شان تأمین شوند، به مانند شرایط ایدهآل، تلفات در سیستم میتواند به کلی حذف شود. البته این موضوع تقریباً غیر ممکن است چرا که هزینه سرمایه گذاری بسیار زیاد میشود. بنابراین ما به کارگیری یک تابع هدف برای کاهش تلفات با تعداد مشخصی مولد را ترجیح می دهیم.

$$n_{DG} \leq N_{DG} \quad (11)$$

که در آن N_{DG} و n_{DG} به ترتیب تعداد مولدهای تجدیدپذیر و مازیم تعداد مولدهای قابل نصب می باشند.

۳-۴-۲- اندازه مولد

بسته به بیشینه سرمایه گذاری ممکن مولدها، اندازه کلی مولدها میتواند با رابطه زیر بیان شود:

$$\sum_{K=1}^{n_{REG}} KW_{REG}^K \leq \eta P_{Load} \quad (12)$$

که در آن KW_{REG}^K ظرفیت K امین مولد و P_{load} توان کلی باراست. همچنین، η ثابتی بهصورت $\eta < 1$ می باشد.

۳- معرفی الگوریتم پیشنهادی هوش جمعی مبتنی بر روش فازی

به طور کلی بهینه سازی PSO روشی است مبتنی بر یک ساختار اجتماعی و تکراری با تأکید بر عمل مشارکت که نسبتاً تصادفی و بدون حق انتخاب می باشد. در این ساختار ذرات سه گونه جابه-

$$Gr_{fuel} = \frac{r_f (1+r_f)^n}{(1+r_f)^n - 1} \quad (5)$$

$$Gr_{O\&M} = \frac{r_o (1+r_o)^n}{(1+r_o)^n - 1} \quad (6)$$

LF ضریب توان، r_f و r_o به ترتیب نرخ سالانه سود ناشی از استهلاک سرمایه، نرخ قیمت سوخت و نرخ تغییرات هزینه تعمیر و نگهداری می باشد. n عمر مفید، T_a مدت استفاده و $O\&M cost$ هزینه نگهداری و عملکرد است. کمینه کردن تابع هزینه میتواند بهصورت زیر مدل شود:

$$f_1(x) = \sum_{i=1}^{N_i} C_i(P_i) + C(P_{grid}) \quad (7)$$

$$F_1(x) = \min[f_1(x)]$$

که P_i توان تولید شده توسط مولدهای تجدیدپذیر و M_{grid} توان مبادله ای با شبکه بالادست می باشد. N_i تعداد مولدهای تجدیدپذیر می باشد. x برداری است که مکان و توان مولدهای تجدیدپذیر را شامل می شود و $f_1(x)$ تابع هدف اولیه می باشد که باید کمینه شود.

۲-۲- کمینه کردن تلفات توان

تلفات سیستم توزیع به عنوان تابع هدف دوم برای جایابی و اندازه یابی مولدها در نظر گرفته شده است. کاهش تلفات توان حقیقی فیدرهای توزیع به عنوان هدفی مهم در به کارگیری مولدهای تجدید پذیر به شمار می رود. کمینه کردن تلفات توان حقیقی فیدرهای ارزیابی تلفات می تواند همانند زیر محاسبه شود:

$$f_2(x) = \sum_{t=1}^{N_d} \sum_{i=1}^{N_{br}} (R_i \times |I_i|^2 \times \Delta t) \quad (8)$$

$$F_2(x) = \min(f_2(x))$$

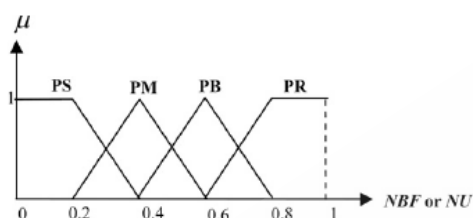
که R_i و I_i به ترتیب مقاومت و جریان شاخه نام می باشند. N_{br} تعداد شاخه ها است، Δt بازه زمانی است که در این مقاله برابر با یک سال است و N_d تعداد سالهای ارزیابی تلفات می باشد [۱۸].

۳-۲- کمینه کردن آلایندگی

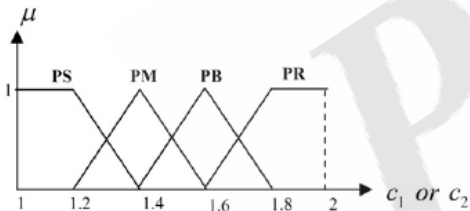
تابع آلایندگی شامل آلایندگاهای همچون SO_x و NO_x می باشد که به صورت زیر قابل محاسبه است:

$$\begin{aligned} E_t &= \sum_{d=1}^{N_d} \left(\sum_{i=1}^{N_i} E_t(P_i) + E_{grid} \right) \Delta t \\ &= \sum_{d=1}^{N_d} \left(\sum_{i=1}^{N_i} (\alpha_i P_i^2 + \beta_i P_i + \gamma_i + \xi_i \exp(9\lambda_i P_i)) + E_{grid} \right) \Delta t \\ F_3(x) &= \min(f_3(x)) \end{aligned} \quad (9)$$

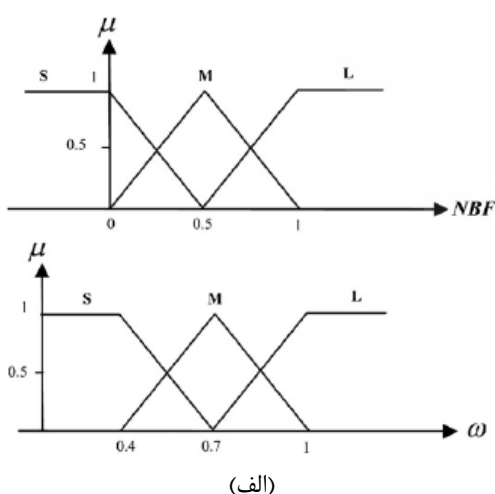
مسئله بهترین رفتار خود را نسبت به بهترین عملکرد جمع ملاک قرار می‌دهد. به همین منوال مقادیر مختلف فاکتور وزنی^(۱)، کنترل میدان جستجو و کاهش اثر سرعت بیشینه را بر عهده دارد بهطوری‌که انتخاب وزن‌های بزرگ‌تر قابلیت جستجوی سراسری را افزایش می‌دهد و ضرایب وزنی کوچک‌تر امکان جستجوی محلی و همگرایی بهتر را نتیجه می‌دهد. در این مقاله برای حل مشکل از یک روش تطبیقی فازی برای اصلاح ضرایب مذکور در موقع نیاز استفاده شده است و در این راستا دوتابع عضویت فازی پیشنهاد شده است. یک تابع عضویت مطابق شکل (۱) و (۲) برای تنظیم پارامترهای یادگیری (C_1 و C_2) با ورودی‌های بهترین نقطه سراسری (BF) و تعداد نسل برای نقطه بهینه غیرمتغیر(NU) و دیگری مطابق شکل (۳) برای تنظیم ضریب اصلاح وزنی ($\Delta\omega$) با ورودی‌های BF و ω در نظر گرفته می‌شود.



شکل(۱):تابع عضویت ورودی برای تنظیم پارامترهای یادگیری



شکل(۲):تابع عضویت خروجی برای تنظیم پارامترهای یادگیری



(الف)

جایی به یک نقطه ممکن را دارند که به صورت حرکت بر اساس سرعت مناسب خود ذره، حرکت به سمت بهترین عملکرد خودی و نهایتاً حرکت به سمت عملکرد بهترین ذره خبردهنده مدل می‌شوند.

به طور خلاصه می‌توان گفت که الگوریتم PSO در آغاز فرایند حل مسئله، توسط یک گروه تصادفی از ذرات مقدار دهی اولیه می‌شود و در مسیر رسیدن به نقطه مطلوب، نسل قبل ذرات را اصلاح و به هنگام می‌کند. به عبارتی در هر مرحله از تکرار هر ذره به کمک دو مقدار بهترین بازسازی می‌گردد. اولین بهترین، بهترین محلی است که تاکنون خود ذره به آن دست یافته است (P_{best}) و دومین بهترین، در حقیقت بهترین راه حل موجود در میان سایر جواب‌هاست که توسط تابع بهینه‌ساز شناسایی می‌شود و به بهترین حل سراسری (g_{best}) معروف است. پس از شناسایی دو مقدار بهترین تمامی ذرات سرعت و موقعیت قبلی خود را متناظر با مقادیر بدست آمده و مطابق معادلات (۱۳) و (۱۴) بهروزرسانی می‌کنند:

$$\vec{v}_i^{t+1} = \omega \vec{v}_i^t + C_1 \times rand(.) \times (P_{best,i} - \vec{x}_i^t) \quad (13)$$

$$+ C_2 \times rand(.) \times (g_{best,i} - \vec{x}_i^t) \quad (14)$$

$$\vec{x}_i^{t+1} = \vec{x}_i^t + \vec{v}_i^{t+1}$$

که \vec{v}_i^{t+1} و \vec{x}_i^{t+1} به ترتیب نشانگر سرعت و موقعیت ذره آم در تکرار $t+1$ می‌باشد، $rand(.)$ یک عدد تصادفی در بازه $(0, 1)$ است، C_1 و C_2 پارامترهای یادگیری و ω ضریب وزنی یا اینرسی ذره می‌باشد. باید توجه داشت سرعت هر یک از ذرات در هر بعد به یک مقدار بیشینه (v_{max}) محدود می‌گردد و چنانچه مجموع شتاب‌های یک ذره سبب شود سرعت آن از حد مجاز فراتر رود آن گاه باید در مقدار بیشینه خود ثبت شود [۱۸]. در ساختار swarm الگوریتم PSO استاندارد نتایج با تعداد جمعیت و اندازه تحت تأثیر قرار می‌گیرد. تعداد کم جمعیت‌ها باعث می‌شود که الگوریتم در مینیمم محلی گرفتار شود و اگر تعداد جمعیت‌ها زیاد باشد سرعت الگوریتم کاهش می‌یابد. از طرفی از رابطه (۱۳) مشاهده می‌شود که عملکرد PSO استاندارد به شدت وابسته به پارامترهای یادگیری و ضریب وزنی می‌باشد. پارامتر یادگیری C_1 در واقع میزان توانایی یک ذره برای جستجو بر مبنای بهترین یافته خودی را نشان می‌دهد حال آن که C_2 به عمل ذرات بر مبنای بهترین عملکرد موجود در جمع اشاره دارد. از این‌رو انتخاب مقادیر بزرگ‌تر برای C_1 نسبت به C_2 بها دادن بیشتر به عمل خودی ذره است و این که هر عضو برای حرکت در فضای

از آنجایی که برای تصحیح ضریب وزنی به هر دو تغییرات مثبت و منفی نیاز می‌باشد لذا بازه [۱،۰] برای $\Delta\omega$ لحاظ می‌گردد.

$$\omega^{k+1} = \omega^k + \Delta\omega \quad (15)$$

از طرفی به منظور طراحی یک الگوریتم جامع که برای حل مسائل گستردگی قابل پیاده‌سازی باشد، نیاز است تغییرات BF در بازه [۰،۱] نرمالیزه شود. در این مسئله نمونه، BF نرمالیزه شده در واقع همانتابع عضویت نرمال در نظر گرفته می‌شود. همچنین نیاز است مقادیر پارامترهای یادگیری و ضریب وزنی مطابق رابطه (۱۶) به بازه معینی محدود شوند.

$$0.4 \leq \omega \leq 1 ; 1 \leq C_1 \leq 2 ; 1 \leq C_2 \leq 2 \quad (16)$$

در مسائل بهینه‌سازی چند هدفه مفهوم بهینه‌سازی کلاسیک با بهینه‌سازی پارتو جایگزین شده است. با توجه به این‌که توابع هدف غالباً متناقض با یکدیگر حرکت می‌کنند بهجای دست‌یابی به یک جواب بهینه، مجموعه‌ای از جواب‌های بهینه به دست می‌آید و این مجموعه پاسخ مناسب (یا بهینه‌ی پارتو)، پاسخی است که از نظر تمامی توابع بهترین می‌باشد. این موضوع می‌تواند به این ترتیب بیان شود که، در صورتی که نقطه‌ی X^* پاسخ بهینه‌ی پارتو و X مجموعه جواب‌های ممکن در فضای جستجو باشد، آنگاه داریم:

$$\forall k \in \{1, 2, 3, \dots, K\} : \forall X \in \chi - \{X^*\}, \quad (17)$$

$$f_k(X^*) \leq f_k(X) \text{ and } \exists m \in \{1, 2, 3, \dots, K\} : f_m(X^*) < f_m(X)$$

که در آن K تعداد توابع هدف می‌باشد. به بیان دیگر برای یک مسئله‌ی بهینه‌سازی چندهدفی مفروض می‌توان گفت:

$$\min F(x) = [f_1(x) f_2(x) \dots f_{N_{obj}}(x)] \quad (18)$$

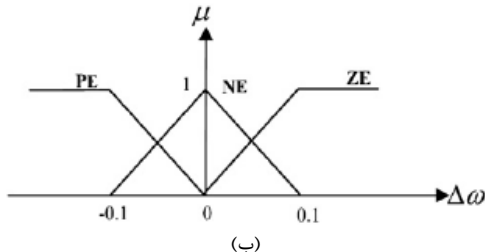
که در آن $f_i(x)$ ، i نامین تابع هدف و X یک جواب قابل قبول است. برای هر دو جواب X_1 و X_2 دو حالت می‌تواند وجود داشته باشد: یکی دیگری را مغلوب کند یا هیچ‌کدام دیگری را مغلوب نکند. در یک مسئله‌ی مینیمم‌سازی یک پاسخ X_1 پاسخ X_2 را مغلوب می‌کند اگر دو شرط زیر ارضا شوند:

$$\forall i \in \{1, 2, \dots, N_{obj}\} : f_i(X_1) \leq f_i(X_2) \quad (19)$$

$$\exists j \in \{1, 2, \dots, N_{obj}\} : f_j(X_1) < f_j(X_2)$$

اگر دو شرط فوق برآورده شود، X_1 را مغلوب می‌کند. پاسخ هایی که در تمام فضای ممکن جستجو غیرغالب هستند به عنوان بهینه‌ی پارتو معرفی شده و دسته‌ی بهینه‌ی پارتو را مشخص می‌کنند.

همان‌طوری که پیشتر عنوان شد توابع هدف موجود در مسئله بهینه سازی پیشنهادی تناسب‌ناپذیر هستند و لذا نیاز است از



شکل (۳): تابع عضویت ورودی‌ها (الف) و خروجی (ب) برای تنظیم ضریب اصلاح وزنی

همان‌طوری که از شکل (۳) نمایان است، تابع عضویت ذوزنقه‌ای برای توصیف روابط ورودی و خروجی استفاده شده است و نامگذاری‌های مربوطه بر روی اشکال از قرار زیر است: در اولین تابع عضویت برای متغیرهای ورودی NBF و NU و PS(positive small) (C_1) از ادبیات به صورت (PB(positive big), PM(positive medium), PR(positive bigger)) از NBF است و در دومین تابع عضویت برای متغیرهای ورودی (ω و NBF) از PR(positive bigger) است. نامگذاری L(Large), M(Medium), S(Small) و NE(Negative) از ZE(Zero) از خروجی (μ) از KMF است. همچنین برای بیان گزاره‌های شرطی که نمایان گر نگاشتی از فضای ورودی به خروجی می‌باشد از قانون فازی ممدادی مطابق با جداول (۱) و (۲) بهره‌گیری شده است.

جدول (۱): قوانین فازی برای پارامتر یادگیری

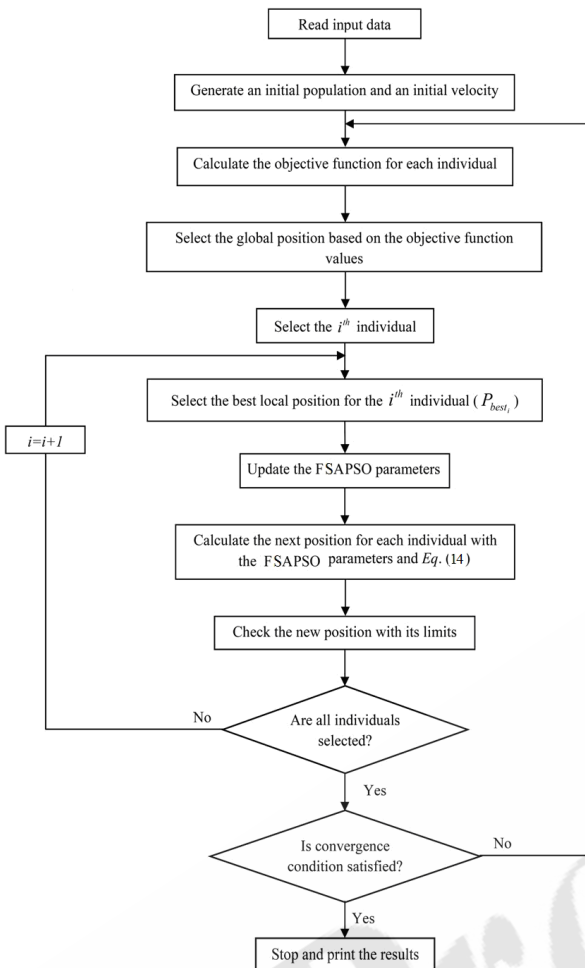
		NU			
C ₁		PS	PM	PB	PR
NBF	PS	PR	PB	PB	PM
	PM	PB	PM	PM	PS
	PB	PB	PM	PS	PS
	PR	PM	PM	PS	PS

جدول (۲): قوانین فازی برای پارامتر یادگیری

		NU			
C ₂		PS	PM	PB	PR
NBF	PS	PR	PB	PM	PM
	PM	PB	PM	PS	PS
	PB	PM	PM	PS	PS
	PR	PM	PS	PS	PS

جدول (۳): قوانین فازی برای ضریب اصلاح وزنی

		ω		
		S	M	L
NBF	S	ZE	NE	NE
	M	PE	ZE	NE
	L	PE	ZE	NE



شکل(۴): فلوچارت الگوریتم پیشنهادی

در این شبکه بارهای مختلفی مدل‌سازی شده‌اند که بسته به ولتاژ میزان مصرف آنها متفاوت می‌باشد. این مدل بارهای تجاری، صنعتی و خانگی که در مرجع [۲۴] نیز آمده‌اند، به بیان ریاضی عبارتند از:

$$Q_i = Q_{0i} V_i^\beta \quad (22)$$

$$P_i = P_{0i} V_i^\alpha$$

که P_i و Q_i به ترتیب توان حقیقی و راکتیو و P_{0i} و Q_{0i} نقطه‌ی کار اکتیو و راکتیو در باس i می‌باشند. همچنین V_i ولتاژ در باس i و همچنین α و β فاکتورهای واپستگی توان اکتیو و راکتیو به ولتاژ باس می‌باشند. در مدل مرسوم توان ثابت به کار رفته در مطالعات پخش بار $\alpha = \beta = 0$ در نظر گرفته می‌شود. فاکتورهای واپستگی به کار رفته در این تحقیق برای بارهای صنعتی، خانگی و تجاری در جدول (۵) آمده‌اند [۲۵]. باید اشاره نمود که در این

یک روش دسته‌بندی مبتنی بر تکنیک فازی برای کنترل اندازه ذخیره‌کننده جواب‌های بهینه استفاده شود. در این روش یکتابع عضویت فازی برای تشخیص بهترین جواب استفاده می‌شود و تابع عضویت برای هر تابع هدف به صورت زیر تعریف می‌شود:

$$\mu_{f_i}(X) = \begin{cases} 1 & , f_i(X) \leq f_i^{\min} \\ 0 & , f_i(X) \geq f_i^{\max} \\ \frac{f_i^{\max} - f_i(X)}{f_i^{\max} - f_i^{\min}} & , f_i^{\min} \leq f_i(X) \leq f_i^{\max} \end{cases} \quad (20)$$

که در آن f_i^{\max} و f_i^{\min} به ترتیب حد پایینی و بالایی تابع هدف آن هستند، که در روش پیشنهاد شده این مقادیر با استفاده از نتایج بهینه‌سازی هر تابع هدف به صورت جداگانه بدست می‌آیند. برای هر جمعیت داخل ذخیره‌کننده مقدار تابع عضویت نرمالیزه شده به صورت زیر محاسبه می‌شود:

$$N\mu(j) = \frac{\sum_{k=1}^n \omega_k \times \mu_{f_k}(X_j)}{\sum_{j=1}^m \sum_{k=1}^n \omega_k \times \mu_{f_k}(X_j)} \quad (21)$$

که در آن m تعداد جوابهای غالب می‌باشد و ω_k ضریب k امین تابع هدف است که معمولاً یک در نظر گرفته می‌شود. در روش دسته‌بندی فازی جمعیت‌ها براساس مقدار تابع عضویت مرتب می‌شوند و سپس بهترین جمعیت‌ها برای ذخیره شدن در ذخیره‌کننده انتخاب می‌شوند [۲۳، ۲۲]. فلوچارت الگوریتم نمونه شمایی از روند کار را در شکل (۴) نشان می‌دهد.

۴- نتایج شبیه‌سازی

سیستم تحت مطالعه مطابق شکل (۵) یک سیستم توزیع ۷۰ باسه با ۷۸ شاخه می‌باشد. یک دیاگرام تکخطی از این سیستم با دو پست، ۴ فیدر، ۷۰ گره و ۷۸ شاخه در شکل (۵) نمایش داده شده است. همچنین، در جدول (۴) مقادیر ظرفیت مبنا، هزینه‌ی سرمایه‌گذاری اولیه، هزینه‌ی سوخت، هزینه‌ی عملکرد و طول عمر برای هر یک از مولدهای تجدیدپذیر نمایش داده شده است.

۴-۱- نتایج برای حالت تک هدفه

در ابتدا توابع مربوط به تلفات کل، آلایندها و هزینه به طور مجزا جهت یافتن نقاط بهینه مورد بررسی قرار می‌گیرند. ضرایب مربوط به آلاینده‌ها عبارتند از:

$$\alpha = 4.285 \frac{kg}{hMW^2}$$

$$\beta = -5.094 \frac{kg}{hMW}$$

$$\gamma = 4.586 \frac{kg}{h}$$

$$\xi = 1.0 \times 10^{-6} \frac{kg}{h}$$

$$\lambda = 8.000 MW^{-1}$$

در جدول (۶) مسئله‌ی بهینه‌سازی تک‌هدفه برای توابع هدف مختلف توسط الگوریتم‌های ژنتیک، ازدحام ذرات استاندارد و فازی انجام شده است. این بخش نتایج مربوط به ۱۲ پیل سوختی با حداکثر ظرفیت تولید ۱۰۰ kW در نظر گرفته شده‌اند. همان‌طور که دیده می‌شود، الگوریتم ازدحام ذرات فازی به علت ساختار تنظیم فازی مرتبط با ضرایب بهترین جواب را از نظر کمینه‌بودن و مدت زمان شبیه‌سازی دارا می‌باشد.

جدول (۶): مقادیر توابع به دست آمده ناشی از بهینه‌سازی تک تک
حالات برای الگوریتم‌های مختلف

Algorithm	Cost(\$)	Emission(kg)	Loss(kW)	Sim. Time(s)
GA	467.3064	53887970	124.5127	117.2
Standard PSO	471.2232	53893983	124.1232	157.1
Fuzzy PSO	467.3064	53881790	123.3036	97.4

بهترین نتایج که با بهینه‌سازی هر ۴ هدف به طور مجزا حاصل شده‌اند، به ترتیب در جدول (۷) نمایش داده شده‌اند.

جدول (۷): مقادیر توابع به دست آمده ناشی از بهینه‌سازی تک تک
حالات

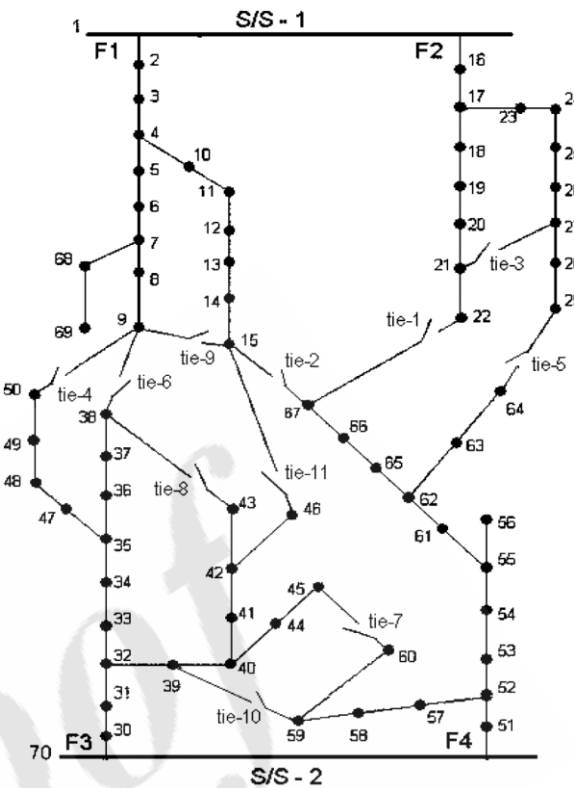
Mode	Cost(\$)	Emission(kg)	Loss(kW)
12 FC	467.3064	53881790	123.3036
12 WT	484.5231	53879402	126.1131
12 PV	493.4122	53879402	123.0096
8 FC+2 WT+2PV	472.2245	53878423	123.0094

خصوص همگرایی هر سه تابع هدف در اشکال (۶) تا (۸) نمایش داده شده است.

۴-۲- نتایج برای حالت چند هدفه

در این بخش شبیه‌سازی با استفاده از الگوریتم پیشنهادی برای ترکیب‌های مختلف مولداتی تجدیدپذیر انجام شده است. همان-

مقاله، نرخ بهره ۸٪ لحاظ شده است و مدت بهره‌برداری برای مولدات ۱۰ سال فرض می‌شود.



شکل (۵): سیستم ۷۰ با سه مورد مطالعه

جدول (۴): مشخصات واحدهای مورد استفاده در سیستم

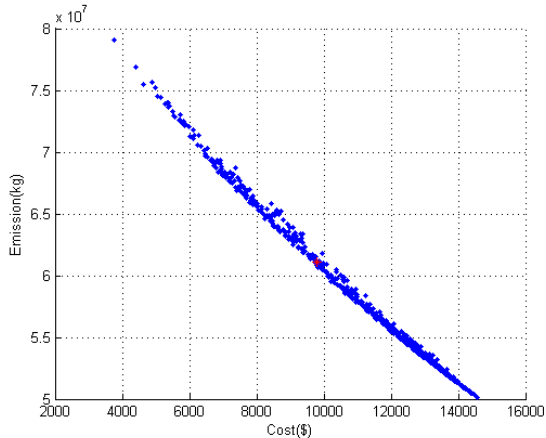
نوع مولد	ظرفیت مبنا (kW)	هزینه کل (\$/kW)	هزینه سوخت (\$/kWh)	هزینه نگهداری و عملکرد (\$/kWh)	طول عمر (سال)	طیورین بادی	پتل خورشیدی	همراه با CHP
۲۰۰	۳۶۷۴	۰/۰۲۹	۰/۰۱		۱۰			
۱۰۰	۶۶۷۵	۰	۰/۰۰۵		۲۰			
۱۰	۳۸۶۶	۰	۰/۰۰۵		۲۰			

جدول (۵): مدل بارهای استفاده شده به همراه ضرایب مربوطه

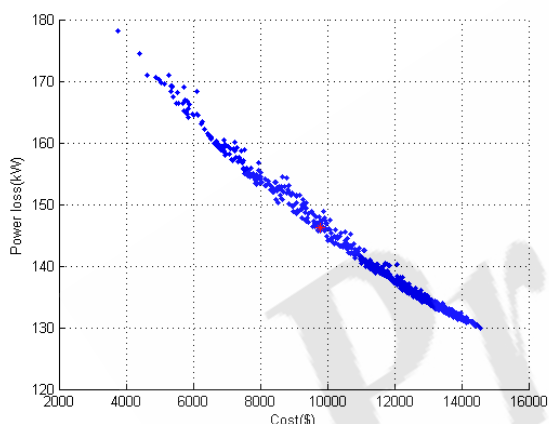
نوع بار	β	α
ثابت	.	.
بال صنعتی	۰/۱۸	۰/۰۴
خانگی	۰/۹۲	۰/۰۴
تجاری	۱/۵۱	۳/۴۰

جدول (۸): مقادیر توابع به دست آمده ناشی بهینه سازی چند هدفه

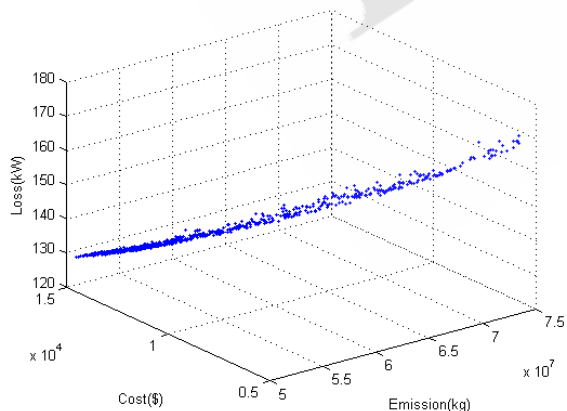
Mode	Cost(\$)	Emission(kg)	Loss(kW)
12 FC	9760.35	61571875	146.2323
12 WT	9844.22	61562212	149.9212
12 PV	9921.12	61562212	147.2828
8 FC+2 WT+2PV	9801.21	61570118	148.1272



شکل (۹): منحنی پارتو هزینه-آلیندگی

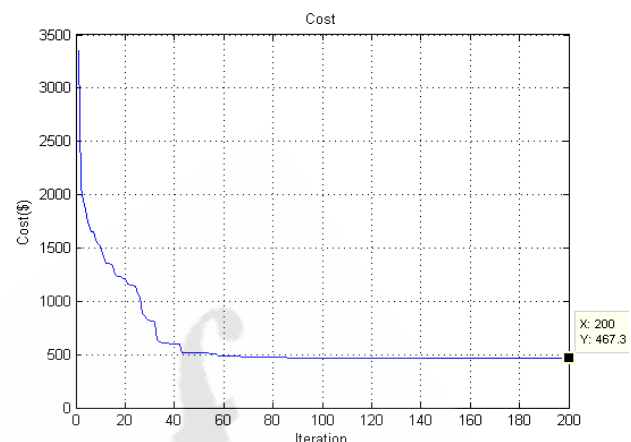


شکل (۱۰): منحنی پارتو هزینه-تلفات

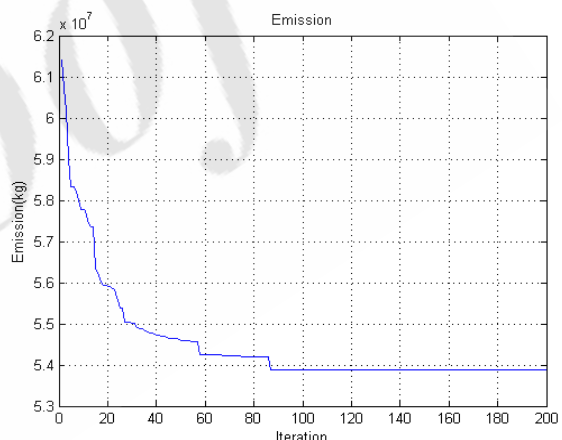


شکل (۱۱): منحنی سه بعدی توابع هزینه-آلیندگی-تلفات

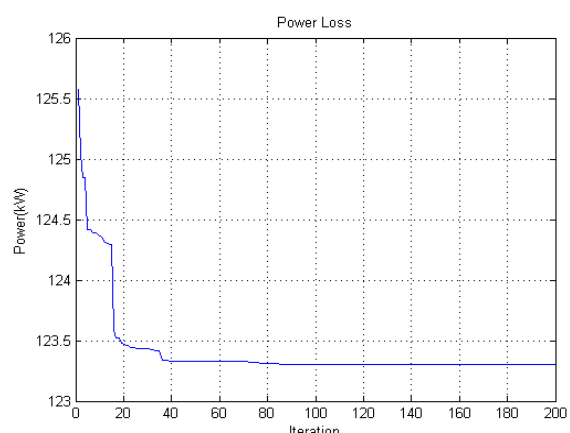
طور که در جدول (۷) دیده می شود در حالتی که تمامی ترکیب-ها از پیل سوختی باشد آلیندگی بیشتر ولی در عین حال تلفات و هزینه‌ی کمتری نسبت به حالت‌های دیگر خواهیم داشت. حالت آخر یک حالت ترکیبی است که در آن از ترکیب ۸ پیل سوختی، ۲ توربین بادی و ۲ پنل خورشیدی استفاده شده است، که آلیندگی کمتر شده ولی هزینه و تلفات کمی افزایش یافته است. این طرح می‌تواند به عنوان یک طرح مناسب انتخاب شود.



شکل (۶): همگرایی تابع هدف هزینه برای حالت ۱۲ بیل سوختی



شکل (۷): همگرایی تابع هدف آلیندگی برای حالت ۱۲ پیل سوختی



شکل (۸): همگرایی تابع هدف تلفات برای حالت ۱۲ پیل سوختی

بهینه‌سازی پیشنهادی نه تنها ساختاری ساده دارد بلکه در رسیدن به جواب‌های بهینه از قدرت بالایی نیز برخوردار است.

مراجع

- [۱] محمد فرشاد، محمد حسین جاویدی دشت بیاض، جواد ساده "ارائه قانون تسویه‌ی تولیدات پراکنده در سیستمی با قانون تسویه‌ی تمايزی و پیشنهاد الگوریتم جایابی و تعیین ظرفیت بهینه" نشریه مهندسی برق و الکترونیک ایران، سال ۹، شماره ۲، پاییز و زمستان ۱۳۹۱.
- [۲] سید حمید فتحی، مرتضی محمدی اردھالی، محمد علی فتاحی اردکانی "تعیین نقطه کار بهینه در سیستم تولید همزمان انرژی الکتریکی و گرمایی به همراه مخزن ذخیره گرمایی با استفاده از الگوریتم ژنتیک"، نشریه مهندسی برق و الکترونیک ایران، سال ۶، شماره ۶، بهار و تابستان ۱۳۸۸.
- [۳] M. A. Golkar, S. Hosseinzadeh, A. Hajizadeh "Optimal Multi-Objective Planning of Distribution System with Distributed Generation" Journal of Iranian Association of Electrical and Electronics Engineers, Vol. 5, No. 2, 2008.
- [۴] J.Huang, C.Jiang, R.Xu, 2008, "A review on distributed energy resources and microgrid", Renew Sust Energy Rev;12(9):2472–83.
- [۵] A. Zangeneh, Sh. Jadid, A. Rahimi-Kian, 2009, "Promotion strategy of clean technologies in distributed generation expansion planning", Renewable Energy, 34, 2765-2773.
- [۶] Manfren M, Caputo P, Costa G. Paradigm shift in urban energy systems through distributed generation: methods and models. Appl Energy 2011;88(4):1032–48.
- [۷] Connolly D, Lund H, Mathiesen BV, Leahy M. A review of computer tools for analysing the integration of renewable energy into various energy systems. Appl Energy 2010;87(4):1059–82.
- [۸] Jurado F, Cano A. Optimal placement of biomass fuelled gas turbines for reduced losses. Energy Convers Manage 2006;47:2673–81.
- [۹] Nara K, Hayashi Y, Ikeda K, Ashizawa T. Application of tabu search to optimal placement of distributed generators. In: IEEE Power Engineering Society winter meeting, vol. 1; 2001. p. 918–23.
- [۱۰] El-Khattam W, Bhattacharya K, Hegazy Y, Salama MMA. Optimal investment planning for distributed generation in a competitive electricity market. IEEE Trans Power Syst 2004;19:1674–84.
- [۱۱] Ahmadigorji M, Abbaspour A, Rajabi-ghahnavieh A, Fotuhi-Firuzabad M. Optimal DG placement in distribution systems using cost/worth analysis. J World Acad Sci Eng Technol 2009;49:746–53.
- [۱۲] Hedayati H, Nabaviniaki SA, Akbarimajd A. A method for placement of DG unit in distribution

جدول (۹): ظرفیت و مکان به دست آمده ناشی از بهینه‌سازی

چندهدفه

Location DG	25	69	13	17
Size(kW)	86.45	80.77	84.30	50.25
Location DG	57	28	12	53
Size(kW)	53.01	72.47	48.38	91.32
Location DG	8	54	34	68
Size(kW)	11.44	63.31	85.99	98.73

جدول (۹) ظرفیت و مکان بهینه‌ی تولیدات پراکنده توسط الگوریتم بهینه‌سازی چندهدفه مذکور را نشان می‌دهد. همان‌طور که در شکل (۹) دیده می‌شود، از آن‌جا که اهداف اقتصادی و زیست‌محیطی در مسئله جایابی و ظرفیت‌یابی مذکور در تقابل با یکدیگر می‌باشند، حرکت از نقاط ابتدایی نمودارها به سمت نقاط انتهایی آن‌ها و بر مسیر پارتو به معنای تغییر الگوی بهینه‌سازی از آلدگی کمتر و هزینه بیشتر به آلدگی بیشتر و هزینه پایین‌تر می‌باشد. توابع هزینه و تلفات نیز در خلاف جهت یکدیگر حرکت می‌کنند که این امر به علت حضور تولیدات پراکنده می‌باشد. در شکل (۱۰) منحنی پارتوی هزینه بر حسب تلفات نمایش داده شده است. در شکل (۱۱) دسته منحنی جواب بهینه ناشی از تغییرات توابع هزینه، آلایندگی و تلفات بر حسب یکدیگر به صورت سه بعدی نمایش داده شده است.

۴- نتیجه گیری

در این مقاله یک بهینه‌سازی چندهدفه مبتنی بر تصمیم‌گیری فازی برای جایابی و اندازه‌یابی مولدات تجدیدپذیر به وسیله‌ی الگوریتم PSO انجام شده است. در طرح پیاده‌سازی شده، جایابی و اندازه‌یابی مولدات تجدیدپذیر با هدف کمینه‌کردن هزینه‌ی تولید، آلایندگی و تلفات الکتریکی در شبکه‌ی ۷۰ باسه انجام گرفته است. همان‌طور که در نتایج دیده می‌شود، مکان و اندازه‌ی بهینه‌ی تولیدات پراکنده برای حالت تک هدفه و چند هدفه به دست آمده است. همان‌طوری که دیده می‌شود، مکان و اندازه‌ی بهینه‌ی تولیدات پراکنده به صورت همزمان در نظر گرفته شده است که باعث ارائه یک طرح جامع و کامل شده است. از سوی دیگر، این الگوریتم نسبت به الگوریتم‌های رایج تکاملی دیگر مانند ژنتیک از دقت و سرعت بالاتری برخوردار می‌باشد. هم چنین، می‌توان استنباط کرد که یکی از مهم‌ترین ویژگی‌های الگوریتم بهینه‌سازی چند هدفه پیشنهادی، ارائه مجموعه جواب بهینه غیرمغلوب است که به اپراتور سیستم اجازه‌ی مانور و پیاده‌سازی سناریوهای مختلف را می‌دهد که بسته به چگونگی آن‌ها در هر شرایط می‌تواند تصمیمات مناسب را اتخاذ و اعمال نماید. از نتایج شبیه‌سازی مشاهده می‌شود مدل



- network. IEEE Trans Power Deliv 2008;23(3):1620–8.
- [13] Senju T, Tona A, Funabashi T. Optimal distribution voltage control and coordination with distributed generation. IEEE Trans Power Deliv 2008;23:1236–42.
- [14] Asakura T, Yura T, Hayashi N, Fukuyama Y. Long-term distribution network expansion planning considering multiple construction plans. Power Syst Technol Conf 2000;2:1101–6.
- [15] Sadeghizadeh M, Rezazadeh A. Using genetic algorithm for distributed generation allocation to reduce losses and improve voltage profile. J World Acad Sci Eng Technol 2008;37:251–6.
- [16] Teng JH, Liu YH, Chen CY, Chen CF. Value-based distributed generator placements for service quality improvements. J Electr Power Energy Syst 2007;29:268–74.
- [17] Favuzza S, Graditi G, Ippolito MG, Sanseverino ER. Optimal electrical distribution systems reinforcement planning using gas turbines by dynamic ant colony search algorithm. IEEE Trans Power Syst 2007;22(2):580–7.
- [18] R. Poli. Analysis of the publications on the applications of particle swarm optimisation. Journal of Artificial Evolution and Applications, Article ID 685175, 10 pages, 2008.
- [19] M. Clerc and J. Kennedy. The particle swarm-explosion, stability and convergence in a multidimensional complex space. IEEE Transactions on Evolutionary Computation, 6(1):58-73, 2002.
- [20] Agalgaonkar P, Kulkarni SV, Khaparde SA, Soman SA. Placement and penetration of distributed generation under standard market design. Int J Emerg Electr Power Syst 2004;1(1).
- [21] Olamaie J, Niknam T, Gharehpetian G. Application of particle swarm optimization for distribution feeder reconfiguration considering distributed generators. Appl Math Comput 2008;20(1):575–86.
- [22] A.Anvari-Moghaddam, A.Seifi, T.Niknam, 2012 , "Multi-Operation Management of a Typical Micro Grids Using Particle Swarm Optimization: A Comparative Study", Renewable and Sustainable Energy Reviews, 16 (1): 1268– 1281.
- [23] A.Anvari-Moghaddam, A.Seifi, T.Niknam, M.R. Alizadeh-Pahlavani, 2011,"Multi-objective operation management of a renewable MG (micro-grid) with back-up micro-turbine/fuel cell/battery hybrid power source",Energy; 36(1): 6490-6507
- [24] IEEE Task Force on Load Representation for Dynamic Performance, “Bibliography on load models for power flow and dynamic performance simulation,” IEEE Trans. Power Syst., vol. 10, no. 1, pp. 523–538, Feb. 1995.
- [25] IEEE Task Force on Load Representation for Dynamic Performance. Load representation for dynamic performance analysis. IEEE Trans. Power Syst., 1993;8(2):472-82.